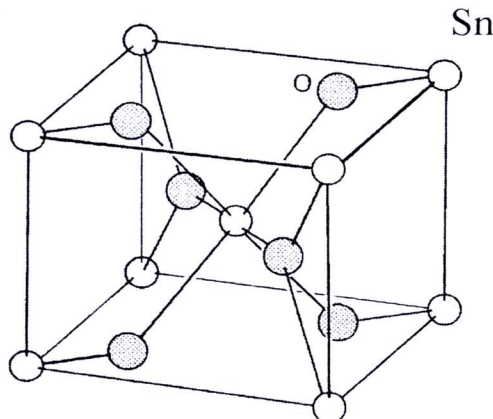


บทที่ 2

การตรวจเอกสาร

2.1 ทิน (IV) ออกไซด์ (SnO_2)

ทิน (IV) ออกไซด์ หรือ สแตนนิกออกไซด์ (Stannic oxide, SnO_2) เป็นสารประกอบออกไซด์ของโลหะดีบุก เป็นสารกึ่งตัวนำชนิดเอ็น (n-type semiconductor) โดยปกติทินออกไซด์มีแบบช่องว่างพลังงาน (band gap energy, E_g) กว้างประมาณ 3.8 eV- 4.0 eV [3] โครงสร้างผลึกของ SnO_2 เป็นแบบเดตระโภนอลูไทร์ (Rutile tetragonal structure) โครงสร้างผลึกแบบเดตระโภนอลูไทร์ (รูปที่ 2.1) ของ SnO_2 มี Sn^{4+} จัดเรียงตัวแบบ Body centre cubic มีเลขโคลอร์ดิเนชันเท่ากับ 6 และอยู่ภายใต้สนา�ออกตะขีดรอลของไอออน O^{2-} โดยที่ไอออน O^{2-} บรรจุอยู่ที่ตำแหน่งผิวน้ำของหน่วยเซลล์ 4 ไอออน และอยู่ภายใต้หน่วยเซลล์ 2 ไอออน มีพารามิเตอร์แลตทิต a และ b เท่ากับ 4.737 \AA , c เท่ากับ 3.185 \AA และมีมุ $\alpha = \beta = \gamma$ เท่ากับ 90° องศา ปริมาตรหน่วยเซลล์เท่ากับ 71.5 \AA^3 (ICSD 414145)



รูปที่ 2.1 โครงสร้างผลึกแบบรูไทร์ (Rutile)

ตาราง 2.1 รัศมีไอออนของโลหะที่รานซิชันในสนาમออกตะขีดรอล [4]

ไอออน	รัศมี	ไอออน	รัศมี	ไอออน	รัศมี
$\text{Mn}^{4+} (\text{d}^3)$	0.53 \AA	$\text{Fe}^{2+} (\text{d}^6 - \text{hs})$	0.78 \AA	$\text{Co}^{3+} (\text{d}^6 - \text{hs})$	0.61 \AA
$\text{Mn}^{3+} (\text{d}^4 - \text{hs}^*)$	0.65 \AA	$\text{Fe}^{3+} (\text{d}^5 - \text{ls})$	0.55 \AA	$\text{Co}^{4+} (\text{d}^5 - \text{hs})$	0.53 \AA
$\text{Mn}^{3+} (\text{d}^4 - \text{ls}^*)$	0.58 \AA	$\text{Fe}^{3+} (\text{d}^5 - \text{hs})$	0.645 \AA	Sn^{4+}	0.69 \AA
$\text{Cr}^{4+} (\text{d}^2)$	0.41 \AA	$\text{Fe}^{4+} (\text{d}^4)$	0.585 \AA	O^{2-}	1.32 \AA
$\text{Cr}^{4+} (\text{d}^2)$	0.55 \AA	$\text{Co}^{2+} (\text{d}^7 - \text{ls})$	0.65 \AA		
$\text{Cr}^{3+} (\text{d}^3)$	0.61 \AA	$\text{Co}^{2+} (\text{d}^7 - \text{hs})$	0.745 \AA	ls คือ low spin	
$\text{Fe}^{2+} (\text{d}^6 - \text{ls})$	0.61 \AA	$\text{Co}^{3+} (\text{d}^6 - \text{ls})$	0.545 \AA	hs คือ high spin	

2.2 วัสดุ DMS

การจัดการกระจายตัวของสปินภายในสารกึ่งตัวนำ หรือที่เรียกว่า “สปินทรอนิกส์” (Spintronic) [5] เป็นบทบาทใหม่ในวัสดุอิเล็กทรอนิกส์ ที่กำลังได้รับความสนใจศึกษาอยู่ในปัจจุบัน สารประกอบ SnO_2 มีความเป็นไปได้สูงในการใช้ ประจุไฟฟ้า และสปิน ให้ทำงานร่วมกันได้ สารประกอบ SnO_2 เป็นสารกึ่งตัวนำที่มีแทนซองว่างพลังงานที่กว้าง (3.8 eV ถึง 4.0 eV) อยู่ในช่วง พลังงานของลำแสงอัลตราไวโอเลต (UV) และเป็นสารเช米ค่อนดักเตอร์ ชนิดเอ็น (n -type semiconductor) การทำให้สารเช米ค่อนดักเตอร์ SnO_2 แสดงสมบัติเฟอร์โรแมกเนติก อาจทำได้โดย การเจือ (dope) ด้วยโลหะtransition อันุกรมที่ 1 (TM)

ปี ค.ศ. 1998 Ohno H. [6] พบว่าฟิล์มบางแกลเลียมอาร์เซนิคเช米ค่อนดักเตอร์ (GaAs) ที่ เจือด้วยอะตอมแมงกานีส 2 - atomic% ที่เตรียมโดยเทคนิค Molecular Beam Epitaxy (MBE) แสดง สมบัติเฟอร์โรแมกเนติก และมี $T_c \sim 110$ K แต่อย่างไรก็ตามค่า T_c ยังต่ำกว่าอุณหภูมิห้องมาก อีก ทั้งการขึ้นรูปให้อยู่ในรูปของฟิล์มบาง (เพื่อที่จะนำไปใช้ประโยชน์ได้จริง) ทำได้ยากและมีต้นทุนสูง ทำให้มีการหันมาสนใจศึกษาสารเช米ค่อนดักเตอร์ที่อยู่ในรูปของสารประกอบออกไซด์ เช่น ZnO , TiO_2 หรือ SnO_2 นอกจากนั้น ในปี ค.ศ. 1998 Dietl et al. [7] รายงานผลจากการคำนวณ แสดงให้เห็นว่าสารประกอบออกไซด์เช米ค่อนดักเตอร์ ZnO สามารถมีสมบัติเฟอร์โรแมกเนติกที่อุณหภูมิเหนือ อุณหภูมิห้องได้

ปี ค.ศ. 1999 Fukumura T. และคณะ [8] เป็นกลุ่มแรกที่เตรียมสารประกอบออกไซด์เช米 ค่อนดักเตอร์ที่มีโลหะ TM เจืออยู่ เตรียมฟิล์มบางของ $\text{Zn}_{1-x}\text{Mn}_x\text{O}$ ($x < 0.35$) โดยเทคนิค pulsed-laser deposition (PLD) และศึกษาสมบัติการนำไฟฟ้าและสมบัติแมgnetiคโดยรีซิสแตนท์ในช่วงอุณหภูมิ 5 - 300 K พบว่าฟิล์มบาง $\text{Zn}_{1-x}\text{Mn}_x\text{O}$ เป็นตัวนำไฟฟ้าที่ติดลอดช่วงอุณหภูมิดังกล่าว ในขณะที่สมบัติ แมgnetiคโดยรีซิสแตนท์พบเฉพาะที่อุณหภูมิต่ำๆ โดยทั้งนี้จะเห็นได้ว่ายังไม่มีการรายงานเกี่ยวกับสมบัติ เฟอร์โรแมกเนติกของสารประกอบนี้

หลังจากนั้นได้มีรายงานการเตรียมสารประกอบของ ZnO ที่มีโลหะ TM ต่างๆ เป็นตัวเดิม ตามมาหลายงาน [9, 10, 11, 12, 13, 14, 15] โดยมีการรายงานหั้งที่พบและไม่พบสมบัติเฟอร์โรแมก เนติกในสารประกอบเหล่านี้ ในกลุ่มที่พบรายงานค่า T_c ตั้งแต่ 30 ถึง 550 K ดังแสดงไว้ในตารางที่ 1

ปี ค.ศ. 2001 Matsumoto Y. และคณะ [16] เป็นกลุ่มแรกที่รายงานการเตรียมและพบ สมบัติเฟอร์โรแมกเนติกที่อุณหภูมิห้อง ในฟิล์มบาง Co-doped TiO_2 ที่มีโครงสร้างแบบ anatase ซึ่ง หลังจากนั้นมีอีกหลายงานที่เตรียมสารประกอบระบบเดียวกันนี้ [17, 18, 19] หั้งที่อยู่ในรูปของฟิล์ม บางและในรูปของผงออกไซด์ ดังสรุปไว้ในตารางที่ 1

ในขณะที่คณะของ Stampe P.A. [18] พบว่าสมบัติเฟอร์โรแมกเนติกที่พบในฟิล์มบาง Co-doped TiO_2 อาจเกิดเนื่องมาจากโลหะโคบอลท์ที่ไม่สามารถเข้าไปแทนที่โลหะไททาเนียมในโครง ผลึกได้ โดยที่โลหะโคบอลท์อาจจะอยู่ในรูปอะตอมเดียวหรืออยู่เป็นกลุ่มคลัสเตอร์

แต่ในปี ค.ศ. 2002 Kimura H. และคณะ [20] ได้เตรียมฟิล์มบาง $\text{Sn}_{0.95}\text{Mn}_{0.05}\text{O}_2$ โดยเทคนิค Pulse Laser Deposition (PLD) สารประกอบด้วยองค์ประกอบที่ต้องการที่ร่วมกันในฟิล์ม โดยใช้เทคนิค Solid state reaction พบร่วมกันแล้วนำเข้าไปเผาต่อ พบว่าสมบัติของสารประกอบฟิล์มบางนี้เป็นแบบพารามגנטיติก

ต่อมาในปี ค.ศ. 2003 Ogale S.B. และคณะ [21] เป็นกลุ่มแรกที่รายงานสมบัติเฟอร์โรแมกเนติกของสารประกอบเชิงมิตร TM-doped SnO_2 โดยพบร่วมกับฟิล์มบาง $\text{Sn}_{0.95}\text{Co}_{0.05}\text{O}_2$ ที่เตรียมโดยเทคนิค PLD มีอุณหภูมิคริสตัลลิซึ่งถึง 650 K มีค่าแมกเนติกโมเมนต์สุทธิสูงถึง $7.5 \pm 0.5\text{ }\mu_{\text{B}}/\text{Co atom}$

ปี ค.ศ. 2004 Coey J.M.D. และคณะ [22] ได้รายงานสมบัติเฟอร์โรแมกเนติกของฟิล์มบาง Fe-doped SnO_2 ที่เตรียมโดยเทคนิค PLD จากผงออกไซด์ที่เตรียมโดยเทคนิค Solid state reaction เพาที่ $1000\text{ }^{\circ}\text{C}$ พบร่วมกับฟิล์มบาง $\text{Sn}_{0.95}\text{Fe}_{0.05}\text{O}_2$ มีอุณหภูมิคริสตัลลิซึ่งถึง 610 K และมีค่าแมกเนติกโมเมนต์สุทธิเท่ากับ $1.8\text{ }\mu_{\text{B}}/\text{Fe atom}$

Kim E. C. และคณะ [23] ได้รายงาน การศึกษาสมบัติการนำไฟฟ้าของสารประกอบ $\text{Ti}_{0.99}^{57}\text{Fe}_{0.01}\text{O}_2$ ที่เตรียมโดย direct – composition และยังศึกษาลักษณะไอออนของเหล็กที่เข้าไปแทนที่ โดยใช้ Mossbauer spectra พบร่วมกับ Fe^{3+} เข้าไปแทนที่ Ti^{4+} จึงทำให้สารประกอบ $\text{Ti}_{0.99}^{57}\text{Fe}_{0.01}\text{O}_2$ แสดงสมบัติพารามagnetic

ปี ค.ศ. 2004 Punnoose A. และคณะ [24] เตรียมผงออกไซด์ $\text{Sn}_{1-x}\text{Co}_x\text{O}_2$ ($0.005 \leq x \leq 0.15$) โดยเทคนิคการตกตะกอนร่วม (co-precipitation) มีขนาดของอนุภาคเฉลี่ย 37 nm และพบร่วมกับสารประกอบเชิงมิตรที่มีปริมาณการแทนที่ของโลหะโภคถือต่ำๆ ($< 0.15\text{ atomic\%}$) จะแสดงสมบัติเฟอร์โรแมกเนติกที่อุณหภูมิห้อง โดยพบร่วมกับ $\text{Sn}_{0.99}\text{Co}_{0.01}\text{O}_2$ มีอุณหภูมิคริสตัลลิซึ่งถึง 440 K [25]

นอกจากนั้น Fitzgerald C. B. และคณะ [26] ได้รายงานการแสดงสมบัติเฟอร์โรแมกเนติกที่อุณหภูมิห้อง ของสารประกอบ $\text{Sn}_{0.95}\text{Mn}_{0.05}\text{O}_2$ และ $\text{Sn}_{0.95}\text{Fe}_{0.05}\text{O}$ ที่เตรียมโดยเทคนิค Solid state reaction แต่สารประกอบ $\text{Sn}_{0.95}\text{Co}_{0.05}\text{O}$ แสดงสมบัติพารามagnetic

ปี ค.ศ. 2005 Hong N. H. และคณะ [27] พบร่วมกับฟิล์มบาง $\text{Sn}_{0.95}\text{Cr}_{0.05}\text{O}_2$ ที่เตรียมโดยเทคนิค PLD บนผ้าลินเดีย LaAlO_3 มีค่าแมกเนติกโมเมนต์สุทธิสูงถึง $6\text{ }\mu_{\text{B}}/\text{Cr atom}$ ซึ่งสูงกว่าฟิล์มบางที่เตรียมบนผ้าลินเดีย SrTiO_3 และ R-cut sapphire ถึง 20 เท่า แสดงให้เห็นว่าการเตรียมสารประกอบมีผลต่อการแสดงสมบัติเฟอร์โรแมกเนติก

Hong N. H. และคณะ [28] ยังพบร่วมกับฟิล์มบาง $\text{Sn}_{0.95}\text{V}_{0.05}\text{O}_2$ และ $\text{Sn}_{0.95}\text{Ni}_{0.05}\text{O}_2$ [29] ที่เตรียมโดยเทคนิค PLD บนผ้าลินเดีย LaAlO_3 , SrTiO_3 และ R-cut sapphire และแสดงสมบัติเฟอร์โรแมกเนติกที่อุณหภูมิห้อง โดยมีค่าแมกเนติกโมเมนต์สุทธิสูงถึง $3\text{ }\mu_{\text{B}}/\text{V atom}$ และ $2\text{ }\mu_{\text{B}}/\text{Ni atom}$ ตามลำดับ

ตาราง 2.3 สารประกอบของไนโตรเซมิคอลนักเตอร์ที่มีหล่ำทางซึ่งเจืออยู่

สารประกอบ	ปริมาณ TM	Substrate	วิธีเตรียม	Growth temperature (°C)	T_c (K)	หมายเหตุ	เอกสารอ้างอิง
ZnO:Co	0.02-0.5	c-Sapphire	PLD	300-700	N/A	สีเงินล้ำสีฟ้า	[9]
ZnO:Mn	0.01-0.36	c-Sapphire	PLD	610	N/A	พาราแมgnetiคก	[10]
ZnO:Ni	0.01-0.25	c-Sapphire	PLD	300-700	N/A	สีเหลือง/orange-yellow	[11]
ZnO:V	0.05-0.15	c-Sapphire	PLD	300	>350	0.5 μ_B/V	[12]
ZnO:Mn	0-0.3	c-Sapphire	PLD		>30-45	0.15-0.17 μ_B/Mn	[13]
ZnO:(Fe, Cu)	0-0.1		Solid state reaction	897	550	0.75 μ_B / Fe	[14]
ZnO:Mn	0.01-0.1		Solid state reaction	500-900	>420	0.16 μ_B/Mn	[15]
Anatase TiO ₂ :Co	<0.08	LaAlO ₃ , SrTiO ₃	PLD	677-727	>400	0.32 μ_B/Co	[16]
Anatase TiO ₂ :Co	0-0.15	LaAlO ₃ , SrTiO ₃	PLD	700	650-700	1.4 μ_B/Co	[17]
Anatase TiO ₂ :Co	0.01-0.07	LaAlO ₃ , SrTiO ₃	PLD	750	N/A	Co cluster 1.7 μ_B/Co	[18]
Rutile TiO ₂ :Co	0-0.05	r-Sapphire	PLD	700	N/A	1 μ_B/Co	[19]
SnO ₂ (Mn, Sb)	0.05-0.34	r-Sapphire	PLD		N/A	พาราแมgnetiคก	[20]
SnO ₂ :Co	0.05-0.27	r-Sapphire	PLD		650	7.5 μ_B/Co	[21]
SnO ₂ :Fe	0.05	r-Sapphire	PLD		610	1.8 μ_B/Fe	[22]
SnO ₂ :Co	0.005-0.15	Co-precipitate		600	>300	0.133 μ_B/Co	[24]
N/A คือ ไม่ได้ระบุแน่							

ปี ค.ศ. 2005 Punnoose A. และคณะฯ [30] พบว่าอนุภาคขนาดนาโนเมตรของสารประกอบ $\text{Sn}_{0.99}\text{Fe}_{0.01}\text{O}_2$ ที่เตรียมโดยเทคนิคการตอกตะกอนร่วม และผ่านการเผาที่อุณหภูมิ 600°C มีอุณหภูมิคริสตัลลิก 850 K แต่ขณะที่สารประกอบ $\text{Sn}_{0.95}\text{Fe}_{0.05}\text{O}_2$ แสดงสมบัติพาราแมกเนติก นอกจากนั้นการศึกษาพบว่าโลหะเหล็กที่แทนที่ดีบุก มีเลขออกซิเดชันเป็น +3 โดยใช้ Mossbauer spectra ในการวิเคราะห์

ปี ค.ศ. 2005 Archer P. I. และคณะฯ [31] เตรียมคอลลอยด์ของสารประกอบ Ni^{2+} -doped SnO_2 ($\text{Sn}_{0.996}\text{Ni}_{0.004}\text{O}_2$) ที่มีขนาดอนุภาคประมาณ 3 nm จากปฏิกิริยาออกซิเดชันของ $\text{SnCl}_4 \cdot 5\text{H}_2\text{O}$ และ $\text{NiCl}_2 \cdot 6\text{H}_2\text{O}$ กับยูเรีย (Urea) ที่อุณหภูมิ 95°C พบว่าสารประกอบคอลลอยด์ที่เตรียมได้แสดงสมบัติเฟอร์โรแมกเนติกที่อุณหภูมิห้อง มีค่าแมกเนติกโมเมนต์สุทธิ $0.8 \mu_\text{B}/\text{Ni}^{2+}$

ดังจะเห็นว่าในช่วงที่ผ่านมา การศึกษาสารประกอบออกไซด์เชमิคอลดักเตอร์ระบบ TM-doped SnO_2 (TM = Co, Cr, Mn, Fe และ Ni) มีทั้งการศึกษาในรูปของฟิล์มบาง เม็ดเซรามิก ผงอนุภาคขนาดเล็ก รวมทั้งในรูปของคอลลอยด์ และพบว่าสมบัติเฟอร์โรแมกเนติกในสารประกอบเหล่านี้ยังหลากหลาย คือ มีทั้งที่รายงานการพบและไม่พบสมบัติเฟอร์โรแมกเนติก ในสารประกอบชนิดเดียวกัน หรือในสารประกอบชนิดเดียวกัน แต่เตรียมโดยเทคนิคที่ต่างกัน สมบัติแม่เหล็กที่แสดงออกมาก็ต่างกันด้วย แสดงให้เห็นว่าองค์ความรู้ของสารประกอบออกไซด์เชเมิคอลดักเตอร์ระบบ TM-doped SnO_2 มีความน่าสนใจที่จะทำการศึกษาเพื่อให้เข้าใจถึงสมบัติต่างๆ ของวัสดุเหล่านี้